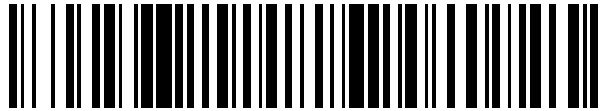


19



OFICINA ESPAÑOLA DE  
PATENTES Y MARCAS

ESPAÑA



11 Número de publicación: **2 415 083**

21 Número de solicitud: 201130156

15 Folleto corregido: A2

Texto afectado: Reivindicaciones

48 Fecha de publicación de la corrección: 06.09.2013

51 Int. Cl.:

**G01R 29/26** (2006.01)

12

SOLICITUD DE PATENTE CORREGIDA

A9

22 Fecha de presentación:

**07.02.2011**

43 Fecha de publicación de la solicitud:

**23.07.2013**

71 Solicitantes:

**INTA, INSTITUTO NACIONAL DE TÉCNICA  
AEROSPACIAL (50.0%)  
Carretera de Ajalvir Km. 4  
28850 Torrejón de Ardoz (Madrid) ES y  
UNIVERSIDAD POLITÉCNICA DE CARTAGENA  
(50.0%)**

72 Inventor/es:

**FORNET RUIZ, Jaime José;  
DÍAZ MORCILLO, Alejandro Benedicto y  
LOZANO GUERRERO, Antonio José**

74 Agente/Representante:

**DE ELZABURU MÁRQUEZ, Alberto**

54 Título: **PATRÓN PRIMARIO DE RUIDO TÉRMICO DE BANDA ANCHA**

57 Resumen:

Patrón primario de ruido térmico de banda ancha. Sistema coaxial para un patrón primario empleado en la trazabilidad de fuentes de ruido térmico, que comprende una línea de transmisión coaxial (1) y un anillo (100), estando una parte de la línea de transmisión coaxial (1) sumergida en nitrógeno líquido y otra parte de la línea de transmisión coaxial (1) rodeada por un circuito de agua (3) donde se encuentra el anillo (100), comprendiendo la citada línea de transmisión coaxial (1) un conductor exterior (10) y un conductor interior (20), estando ambos conductores (10, 20) unidos mediante el anillo (100) que está realizado en un material que garantiza la conductividad térmica entre el conductor exterior (10) y el conductor interior (20), comprendiendo el anillo (100) un tramo central (101) en contacto en toda su longitud con la superficie interior del conductor exterior (10), y porque la relación entre el radio del conductor interior (20) y el radio exterior del anillo (100) es tal que en toda la longitud del anillo (100) la impedancia es la misma que la impedancia nominal de la línea coaxial (1).

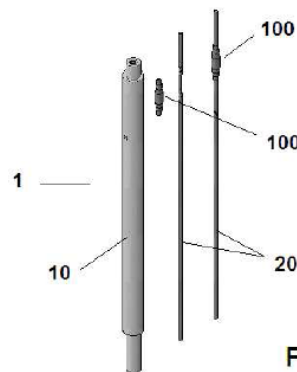


FIG. 1

ES 2 415 083 A9



















- Estructura de la Figura 5a:  $|s_{11}| < 0,06$ ,  $|s_{21}| > 0,92$  para un rango entre 0 y 23GHz.
- Estructura de la Figura 5b:  $|s_{11}| < 0,16$ ,  $|s_{21}| > 0,82$  para un rango entre 0 y 23GHz.
- 5 - Estructura de la Figura 6a:  $|s_{11}| < 0,09$ ,  $|s_{21}| > 0,85$  para un rango entre 0 y 23GHz.
- Estructura de la Figura 6b:  $|s_{11}| < 0,18$ ,  $|s_{21}| > 0,79$  para un rango entre 0 y 23GHz.

10 En las realizaciones preferentes que acabamos de describir pueden introducirse aquellas modificaciones comprendidas dentro del alcance definido por las siguientes reivindicaciones.

























